

مطالعه تشکیل کمپلکس دی‌اکسی وانادیم (V) با سرین و تعیین توابع ترمودینامیکی آن

دکتر حسین آقایی - گروه شیمی، دانشگاه تربیت معلم، تهران، ایران

دکتر فرج قریب - گروه شیمی، دانشگاه شهید بهشتی، تهران، ایران

جعفر عابدینی - گروه شیمی، دانشگاه شهید بهشتی، تهران، ایران

گیاهی مورد توجه قرار گرفته است (۱۵-۱). با آنکه مطالعات زیادی

در خصوص تشکیل کمپلکس‌های وانادیم صورت گرفته است، باز هم مسائل قابل پژوهش زیادی در ارتباط با آن در میان است (۱۶-۱۹).

در این کار، تشکیل دو کمپلکس دی‌اکسی وانادیم با DL سرین از راه اسپکتروفوتومتری در ناحیه UV و قدرت یونی یک مول بر لیتر پرکلرات سدیم در سه دما و در گستره pH ۱ الی ۹ مطالعه شده است و ثابت‌های پایداری و مقادیر ΔG° , ΔH° و ΔS° تشکیل گونه‌های کمپلکس تشکیل شده، تخمین زده شده است. ثابت پروتونه شدن سرین در شرایط آزمایش که برای تخمین ثابت پایداری کمپلکس‌های تشکیل شده لازم است، از راه پتانسیومتری تعیین گردیده است.

سرین علاوه بر دارا بودن گروههای کمپلکس دهنده معمولی که در آمینوکربوکسیلات اسیدها موجودند، یک عامل کمپلکس دهنده دیگر،

RO⁻ نیز دارد. در مورد تفکیک یک پروتون از گروه هیدروکربوکسیل سرین اطلاعات متفاوتی در اختیار است. برای pK_A آن، مقادیر ۱۱/۰۲

چکیده

با آنکه مقالاتی چند در مورد تشکیل کمپلکس‌های وانادیم (V)، VO_2^+ ، با آمینو اسیدها و برهمکنشهای لیگاندھای بیولوژیکی با آن انتشار یافته است، اما نتایج کمی محدودی در خصوص آنها در اختیار می‌باشد. ما در این پژوهش، چکونگی تشکیل کمپلکس‌های دی‌اکسی وانادیم (V) را با DL سرین در گستره pH ۱ الی ۹ و قدرت یونی ۱ مول بر لیتر پرکلرات سدیم در چند دما به روش‌های اسپکتروفوتومتری و پتانسیومتری مورد مطالعه قرار داده و برخی اطلاعات ترمودینامیکی و ثابت‌های پایداری برای دو کمپلکس از نوع My^+ و MY_2^- را حساب کرده‌ایم. یا آنیون آمینوکربوکسیلات را می‌رساند و M^+ یون فازی مورد نظر را نشان می‌دهد.

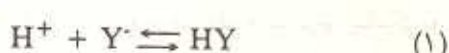
مقدمه

در سالهای اخیر اهمیت و نقش ترکیبات وانادیم در بانتهاي حیوانی و

و الکترود کالومل Ingold UO 3236 اندازه گیری شده است. برای اندازه گیری اسپکتروفوتومتری، اسپکتروفوتومتر vis - UV دو پرتوی Shimadzu 2100 و Shimadzu GDU - 20 C و یک حمام آب از نوع Shimadzu TB 85 با دقت $\pm 0.1^{\circ}\text{C}$ ، مورد استفاده قرار گرفته است. محلول توسط یک پمپ مکنده Sipper 260 و در یک سیکل است. از ظرف واکنش که الکترودهای پتانسیومتر در آن قرار دارند به مل اسپکتروفوتومتر و از آنجا به ظرف واکنش انتقال می یابد. بنابراین، جذب pH محیط به طور همزمان در دمای ثابت قابل اندازه گیری بودند.

نتایج تجربی و تفسیر آنها

۱- پروتونه شدن آمینو کربوکسیلیک اسید:



$$K_p = [\text{HY}] / [\text{H}^+] [\text{Y}^-] \quad (2)$$

ثابت پروتونه شدن، K_p از راه پتانسیومتری و با استفاده از برآورد کامپیوتری Harvard Graphic حداقل مربعات تعیین گردیده است. (جدول ۱).

در قدرت یونی $1/\text{ه مول بر لیتر نیترات پتاسیم}$ (۱۹). $11/45$ در قدرت یونی یک مول بر لیتر پرکلرلات سدیم (۲۰). $13/6$ در قدرت یونی نامشخص (۲۱) و بزرگتر از 12 در قدرت یونی $2/25$ مول بر لیتر نیترات سدیم (۲۲) گزارش شده است. از این مقادیر و چگونگی تغییرات جذب بر حسب pH (شکل ۱) می توان نتیجه گرفت که شرکت گروه RO به عنوان عامل کمپلکس دهنده تقریباً غیر محتمل است.

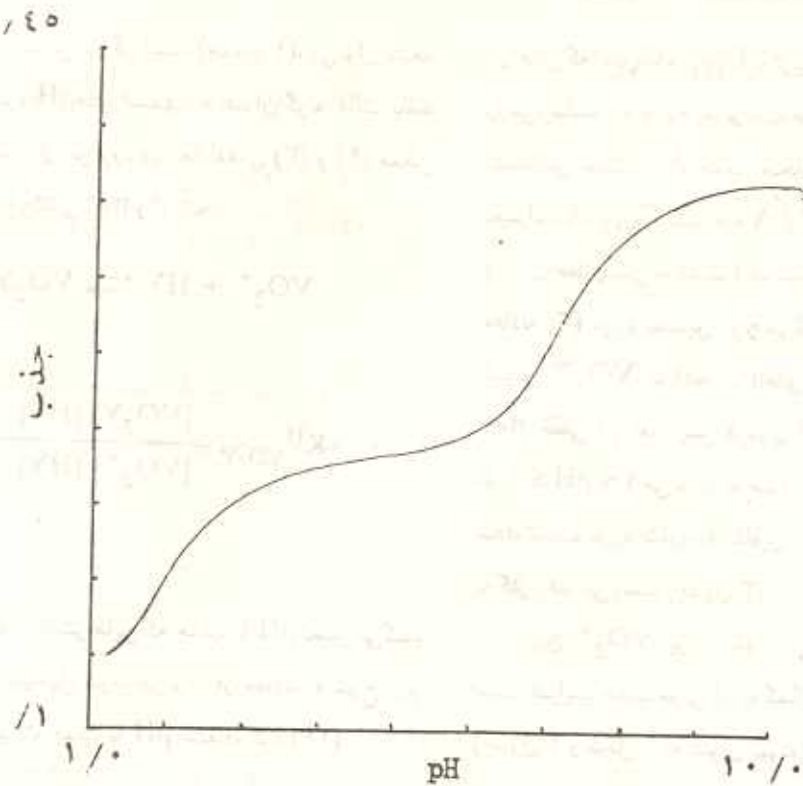
بخش تجربی

مواد شیمیایی مورد استفاده:

اسید پرکلریک، پرکلرلات سدیم و نیدروکسید سدیم با درجه خلوص بالا از شرکت Merck تهیه شدند. DL سرین و متاوانادات سدیم به ترتیب از شرکت‌های Riedel - De Haenag و Aldrich - Chemie Seelze - Hannover سولفات آهن (II) استاندارد به روش تیتراسیون در مجاورت معرف (۲۳)، و همچنین اسید پرکلریک و نیدروکسید سدیم به ترتیب با محلولهای استاندارد پتاسیم نیدروژن کربنات (۲۴) و اسید پرکلریک تعیین غلظت شدند. در تمام آزمایشها از آب دو بار تقطیر شده با هدایت الکتریکی $(\mu\text{ohm})^{-1}$ $1/3 \pm 0.1$ استفاده شد.

دستگاهها:

pH متر مورد استفاده از شرکت Eyela مدل 2000 PHM بوده است. غلظت یون نیدروژن توسط الکترود شیشه‌ای Ingold UO 3234

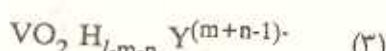
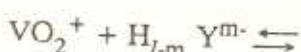
شکل (۱) تغییرات جذب کمپلکس‌های سرین - VO_2^+ بر حسب pH

شد که جذب در گسترهای $\text{pH} \geq ۲/۵ \geq ۹$ و $\text{pH} \leq ۹$ شدیداً با تغییر می‌کند (شکل ۱). بدینسان می‌توان تشکیل دوگونه کمپلکس pH را در گسترهای یاد شده پیش‌بینی کرد.

واکنش میان یون دی‌اکسی واتادیم و آمینو اسیدها یا آبیونهای مربوط به آنها در نخستین مرحله مطابق معادله کلی زیر است

جدول ۱ ثابت پروتونه شدن سرین در سه دما و قدرت یونی یک مول بر لیتر پرکلرات سدیم.

$^\circ\text{C}$	۲۵	۳۰	۳۵
$\log K_p \pm 0/05$	۸/۴۸	۸/۴۰	۸/۳۵



(l) تعداد عاملهای کربوکسیل در مولکول آمینو اسید را می‌رساند).

ثابت تشکیل واکنش بالا به صورت زیر داده می‌شود

$$K_{\text{VO}_2\text{Y}}^{\text{H}} = \frac{[\text{VO}_2 \text{H}_{l-m-n} \text{Y}^{(m+n-1)-}] [\text{H}^+]^n}{[\text{VO}_2^+] [\text{H}_{l-m} \text{Y}^{m-}]} \quad (۴)$$

(در مورد سرین داریم $l=1$)

۲- تشکیل کمپلکس از نوع MY از بررسیهای به عمل آمده می‌توان اطمینان یافت که واتادیم (V) در محیط‌های اسیدی با $\text{pH} < ۲/۵$ به صورت یون VO_2^+ است (۲۵). از سوی دیگر، پولیمر شدن و هیدرولیز این یون در موقعی که غلظت لیگاند نسبت به آن بسیار بالا باشد، در pHهای کوچکتر از $۷/۵$ قابل صرفنظر کردن است. (۲۶).

جذب محلولهایی که در آنها غلظت VO_2^+ ثابت و برابر با 10^{-4}M بود و اما غلظت سرین در آنها بین 10^{-4}M و 10^{-1}M متغیر بود مطالعه شد و دیده

در حالی که C_{VO_2} و C_{HY} به ترتیب غلظتها مولی اولیه فلز و لیگاند را می‌رسانند، ε_1 و ε_0 به ترتیب ضرایب جذب مولی یون فلزی و کمپلکس است. و A جذب محلول می‌باشد. بدین ترتیب چنانچه تغییرات A/C_{VO_2} نسبت به $[H^+]^n / (A - \varepsilon_0 C_{VO_2})$ (A - ε₀C_{VO₂})ⁿ رسم شود و از آن خط راستی به دست آید. تشکیل کمپلکس مورد مطالعه بر اساس معادله (۳) مورد تصدیق قرار می‌گیرد. تغییرات یاد شده برای سیستم سرین- VO_2^+ با انتخاب pH‌های مختلف ترسیم شده و تنها در ازای $n=1$ خطی در آمد. پس فرمول کمپلکس تشکیل شده در گستره $1 \leq pH \leq 2/5$ می‌تواند به صورت VO_2Y باشد. از روی عرض از مبدأ ترسیم مورد اشاره، به مقادیر ε_1 در دمای آزمایش و در طول موج به کار رفته می‌رسیم (جدول ۳).

چون ثابت پرتوئنه شدن سرین بزرگ است (جدول ۱)، می‌توان نتیجه گرفت که HY در گستره pH‌های اسیدی، به عنوان گونه غالب باشد (HY سرین را می‌رساند). از این رو، در معادله‌های (۳) و (۴) ممکن است داشته باشیم $n=1$ و $m=1$ باز آنجا



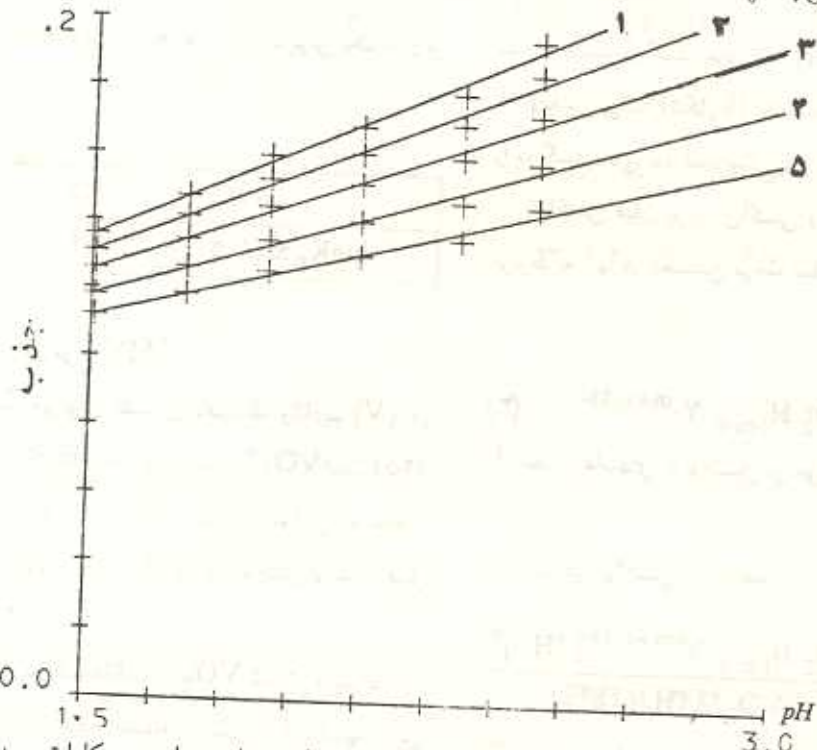
(۳) تکراری)

$$K^H_{VO_2Y} = \frac{[VO_2Y][H^+]}{[VO_2^+][HY]}$$

(۴) تکراری)

با فرض اینکه در هر یک از گسترهایی که جذب با pH تغییر می‌کند، فقط یک گونه کمپلکس تشکیل شود، می‌توان از معادله به شرح زیر برای تجزیه و تحلیل تغییرات جذب با pH استفاده کرد (۱۶)

$$\frac{C_{VO_2}}{A} = \frac{1}{\varepsilon_1} + \frac{(\varepsilon_1 - \varepsilon_0)(A - \varepsilon_0 C_{VO_2})[H^+]^n}{\varepsilon_1 K^H_{VO_2Y} (\varepsilon_1 C_{HY} - \varepsilon_0 C_{HY} - A + \varepsilon_0 C_{VO_2}) \cdot A} \quad (5)$$



شکل ۲ - نمایش تغییرات جذب VO_2^+ بر حسب pH در فرمت یونی یک مول بر لیتر پرکلوات سدیم در ۳۰°C و دامنه $C_{VO_2} = 1/000 \times 10^{-4} M$ ، در طول موجهای (۱)، (۲)، (۳)، (۴)، (۵) ۲۸۰، ۲۶۵، ۲۷۵، ۲۶۰، ۲۷۰ نانومتر.

اکنون اگر $\bar{\varepsilon}$ را مطابق معادله زیر تعریف کنیم (۲۷)

$$\bar{\varepsilon} = \frac{\varepsilon_0 [VO_2^+]}{[VO_2^+] + [VO_2Y]} + \frac{\varepsilon_1 [VO_2Y]}{[VO_2^+] + [VO_2Y]} \quad (6)$$

به کمک آن می‌توانیم متوسط نسبت تعداد لیگاند به بون فلزی را که با \bar{n} نشان می‌دهند به شرح زیر بدست آوریم

$$\bar{n} = \frac{\bar{\varepsilon} - \varepsilon_0}{\varepsilon_1 - \varepsilon_0} \quad (7)$$

مقدار \bar{n} برای کمپلکس VO_2Y در $pH \leq 2/5$ برابر با $1/98$ است. دست می‌آید که مؤید تشکیل کمپلکس $1:1$ است و در نتیجه ثابت شکیل VO_2Y^{H+} در واکنش (۳) به کمک شب معادله (۵) به دست خواهد آمد که مقادیر آن در جدول (۴) داده شده است.

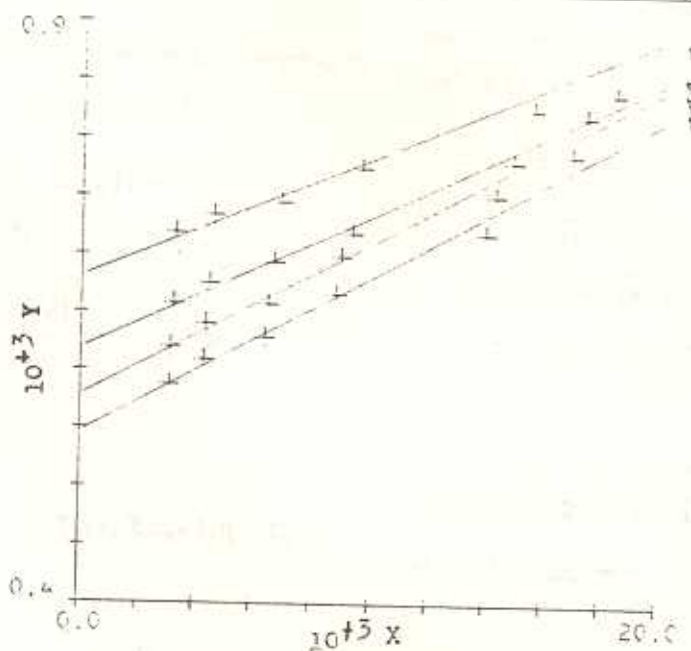
جدول ۲- میانگین ضرائب جذب مولی VO_2^+ در دمای و طول موجه‌ای مختلف و قدرت یونی یک مول بر لیتر پرکلرات سدیم و در

$$C_{VO_2} = 1/000 \times 10^{-3} M$$

$\bar{\varepsilon}/^\circ C$	λ/nm	۲۶۰	۲۶۵	۲۷۰	۲۷۵
۲۵		۵۲۳	۲۸۲	۴۲۹	۳۶۸
۳۰		۵۹۵	۵۵۱	۴۸۷	۴۱۳
۳۵		۷۰۴	۶۲۸	۵۶۳	۴۷۶

جدول ۳- میانگین ضرایب جذب مولی کمپلکس VO_2Y در چند دما و در طول موجه‌ای مختلف و در قدرت یونی یک مول بر لیتر پرکلرات سدیم و در غلاظتها $C_{VO_2} = 1/000 \times 10^{-3} M$ و $C_{HY} = (1/000 - 4/000) M$

$\bar{\varepsilon}/^\circ C$	λ/nm	۲۶۰	۲۶۵	۲۷۰	۲۷۵
۲۵		۲۶۱۲	۲۴۳۷	۲۲۴۲	۲۰۳۲
۳۰		۲۴۱۵	۲۲۴۷	۲۰۶۲	۱۷۹۵
۳۵		۲۲۵۲	۲۰۹۷	۱۸۹۰	۱۷۱۵



شکل ۳- نمایش تغییرات $y = 10^x C_{VO_2} / A$ بر حسب $x = 10^x (A - \varepsilon_0 C_{VO_2}) [H]^+ / A$ در طول موجه‌ای (۱) $260^\circ C$ (۲) $265^\circ C$ (۳) $270^\circ C$ (۴) $275^\circ C$ نانومتر و در دمای $20^\circ C$.

$$\varepsilon_1[VO_2Y] + \varepsilon_2[VO_2Y_2^-] \quad (11)$$

$$= [VO_2Y] + [VO_2Y_2^-] \quad (12)$$

$$= [HY] + 2[VO_2Y_2^-] \quad (13)$$

جدول ۴- میانگین مقادیر $\log K_{VO_2Y}^H$ در دماهای مختلف.

$^\circ\text{C}$	۲۵	۳۰	۳۵
$\log K_{VO_2Y}^H$	۰/۵۱	۰/۴۵	۰/۳۲

با توجه به معادله (۸) و در دست داشتن K_p , ثابتی $K_{VO_2Y}^H$ در دماهای آزمایش محاسبه خواهد شد، پایداری کمپلکس VO_2Y (جدول ۵).

به معادله (۱۴) می‌رسیم که در آن ε_2 ضریب جذب مولی که باز $VO_2Y_2^-$ است.

بارس م نمایش تغییرات C_{VO_2}/A بر $y =$ برابر $x = (A - \varepsilon_1 C_{VO_2}) [H^+]/A$ می‌آید، شکل (۴)، که نشان دهنده تشکیل یک گونه کمپلکس $VO_2Y_2^-$ است. از روی عرض از مبداء این خط محاسبه است که مقادیر آن در جدول (۶) داده شده است.

جدول ۶- میانگین ضرایب جذب مولی کمپلکس $VO_2Y_2^-$ در دما و در طول موجه‌ای مختلف و در قدرت یونی یک مول پرسکلات سدیم، در غلظتها $M^{-1} \times 10^{-4} = ۱/۰۰۰ \times ۱۰^{-4} M$. $C_{HY} = ۱/۰۰۰ \times ۱۰^{-4} M$

$^\circ\text{C}$	λ/nm	۲۶۰	۲۶۵	۲۷۰	۲۷۵
۲۵		۲۷۳۸	۳۷۸۶	۳۶۳۸	۳۲۳۶
		۳۶۱۱	۳۶۴۱	۳۴۷۵	۳۰۸۱
		۳۷۲۲	۳۸۳۸	۳۶۹۰	۳۳۰۵

می‌توان با مرتب کردن معادله (۶). در گستره pH ۶ الی ۹ میانگین تعداد لیگاند به فلز، $\bar{\varepsilon}_2$ را در کمپلکس $VO_2Y_2^-$ با معرفه (۱۵) تعیین نمود.

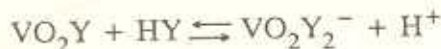
$$\frac{C_{VO_2}}{A} = \frac{1}{\varepsilon_2} + \frac{(\varepsilon_2 - \varepsilon_1)(A - \varepsilon_1 C_{VO_2}) [H^+]}{K_{VO_2Y_2}^H \varepsilon_2 (\varepsilon_2 C_{HY} - \varepsilon_1 C_{HY} - \varepsilon_2 C_{VO_2} - 2\varepsilon_1 C_{VO_2} + 3A) A} \quad (14)$$

جدول ۵- میانگین مقادیر $\log K_{VO_2Y}$ در دماهای مختلف.

$^\circ\text{C}$	۲۵	۳۰	۳۵
$\log K_{VO_2Y}$	۸/۹۸	۸/۸۵	۸/۷۰

۳- تشکیل کمپلکس MY_2^-

با توجه به شکل (۱)، احتمال تشکیل گونه دیگری از کمپلکس در محدوده pH ۶ الی ۹ مطابق معادله زیر قوت می‌گیرد



ثابت تشکیل این گونه کمپلکس به صورت زیر داده می‌شود

$$K_{VO_2Y_2}^H = \frac{[VO_2Y_2^-][H^+]}{[VO_2Y][HY]} \quad (15)$$

با در نظر گرفتن تساویهای (۱۱) الی (۱۳) در گستره pH ۶ الی ۹

شده است.

$$K_{VO_2Y} = \frac{[VO_2Y_2]}{[VO_2^+] [Y^-]^2} = K^H_{VO_2Y} K^H_{VO_2Y_2} K_p^2 \quad (16)$$

جدول ۸- میانگین مقادیر $\log K_{VO_2Y_2}$ در چند دما.

$^\circ C$ /دما	۲۵	۳۰	۳۵
$\log K_{VO_2Y_2}$	۱۱/۵۲	۱۱/۶۲	۱۱/۷۲

۴- تعیین برخی توابع ترمودینامیکی تشکیل کمپلکس‌های $VO_2Y_2^-$ و VO_2Y^-

به کمک نتایج جمع آوری شده در جدولهای ۵ و ۸ در مورد بستگی ثابت‌های پایداری با دما، می‌توان مقادیر ΔH° , ΔS° , ΔG° و K_p را بدست آورد. این مقادیر با استفاده از معادله (۱۶) می‌توان تثبیت کمپلکس $VO_2Y_2^-$ را از واکنشات تشکیل کمپلکس‌های Y^- و VO_2Y^- در جدول (۷) محاسبه کرد. نتایج حاصل از آن در جدول (۸) داده شده است.



شکل ۴- نمایش تغییرات $y = C_{VO_2} / A$ بر حسب $x = (A - \epsilon_1 C_{VO_2}) [H]^+ / A$ در $35^\circ C$ و قدرت یونی یک مول بر لیتر پرکلرات سدیم در طول موجه‌ای، (۱) 265° , (۲) 265° , (۳) 275° , (۴) 275° نانومتر.

$$\bar{n} = \frac{\bar{\varepsilon} - \varepsilon_2 - 2\varepsilon_1}{\varepsilon_2 - \varepsilon_1} \quad (15)$$

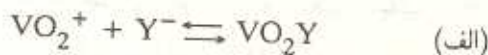
از این راه مقدار \bar{n} برای کمپلکس $VO_2Y_2^-$ در محدوده pH یاد شده، برایر با $1/95$ به دست می‌آید. این جواب مؤید تشکیل کمپلکس $1:2$ است. از این رو، ثابت تشکیل ذرا واقنش (۹). از شیب معادله (۱۴) قابل تخمین است. مقادیر حاصل از این تخمین در جدول (۷) داده شده است.

جدول ۷- میانگین مقادیر $\log K^H_{VO_2Y_2}$ در دمای مختلف.

$^\circ C$ /دما	۲۵	۳۰	۳۵
$-\log K^H_{VO_2Y_2}$	۶/۰۱	۵/۶۳	۵/۳۶

با توجه به معادله (۱۶) می‌توان ثابت پایداری کمپلکس $VO_2Y_2^-$ را از نتایج جمع آوری شده در جدول (۷) و مقادیر K_p و $K^H_{VO_2Y_2}$ حساب کرد جوابهای حاصل از این محاسبه در جدول (۸) جمع آوری

با تکیه بر دلایلی که برای واکنش (۱۷) بیان شد، پیش‌بینی می‌شود که مقدار مشتبی باشد. در خصوص ΔH° محاسبات این مقاله مشتب بودن آن را اعلام می‌کند. برای توجیه این نتیجه تجربی می‌توان واکنش (۱۸) را حاصل دو مرحله زیر در نظر گرفت.



همانطور که در خصوص واکنش (۱۷) پیش‌بینی شد، تغییر آنتالپی وابسته به مرحله (الف) منفی است، اما در مورد مرحله (ب) با توجه به ممانعت فضایی ناشی از حجم بودن لیگاند و دافعه‌های واندروالسی ابرهای الکترونی گونه‌های شرکت کنند، در کمپلکس، انتظار می‌رود که واکنش تشکیل گونه VO_2Y_2^- از Y^- و VO_2Y ۵۰ مگاگیل باشد. ΔH° این مرحله با استفاده از نتایج تجربی به دست آمده برای واکنش‌های (۳) و (۵) در این پژوهش، قابل تخمین است. محاسبه نشان می‌دهد که این ΔH° مشتب است و مقدار آن چنان است که ΔH° منفی مربوط به واکنش (۱۷) را تحت الشاعع قرار می‌دهد و در نتیجه ΔH° واکنش (۱۸) مشتب می‌گردد.

در هر حال، تغییر آنتالپی و تغییر آنتروپی استاندارد وابسته به واکنش‌های (۱۷) و (۱۸) طوری است که تغییر انرژی آزاد گیبس استاندارد وابسته به آنها منفی است و در ضمن پایداری کمپلکس VO_2Y_2^- ناشی از مشتب بودن ΔS° آن است.

جدول ۹ - مقادیر ΔH° , ΔS° و ΔG° برای تشکیل کمپلکس‌های $\text{Y}_2\text{O}_2\text{V}$ و VO_2Y_2^- .

گونه مورد نظر	ΔH°	ΔS°	ΔG°
	kJ/mol	J/mol K	kJ/mol
VO_2Y	-۴۹/۴	۷/۱	-۵۱/۳
VO_2Y_2^-	۳۵	۳۳۹	-۶۶

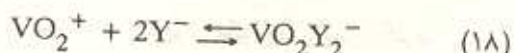
بحث

از دقت نمودن در شکل (۱) که تغییرات جذب محلول دارای VO_2^+ و HY با pH را نشان می‌دهد، آشکار می‌شود که جذب محلول در pH‌های بین ۱ تا ۵/۲ و ۶ الی ۹ شدیداً تابع pH است. از این نکته می‌توان به تشکیل دو گونه کمپلکس بی‌برد. همانطور که پیش از این استدلال شد، این دو گونه به احتمال قوی یکی VO_2Y و دیگری VO_2Y_2^- است. گذشته از آن، دیده می‌شود که جذب کمپلکس تشکیل شده در pH‌های مابین ۶ الی ۹ بیشتر از کمپلکس تشکیل شده در pH‌های مابین ۱ الی ۵/۲ است و جذب این آخری به توبه خود پیش از جذب VO_2^+ است. بدین ترتیب، همانطور که از نتایج جمع‌آوری شده در جدولهای (۲)، (۳) و (۶) پیداست می‌توان ترتیب $\text{VO}_2\text{Y}_2^- > \text{VO}_2\text{Y} > \text{VO}_2^+$ را مورد تأیید قرار داد. از دقت نمودن در واکنش تشکیل $\text{Y}_2\text{O}_2\text{V}$ می‌توان به نتیجه گیریهای جالبی رسید



کمپلکس تشکیل شده به دلیل بار مخالف واکنش دهنده‌ها می‌تواند پایدار باشد. این پایداری با استفاده از یک مدل ساده الکتروستاتیکی قابل توضیح است. با توجه به آن، می‌توان انتظار داشت که ΔH° واکنش (۱۷) منفی باشد. از نظر ΔS° ، چون انتقال حلالی گونه‌های باردار از گونه‌های بدون بار منظم‌تر است، پیش‌بینی می‌شود که تغییر آنتروپی وابسته به واکنش (۱۷) مشتب باشد. نتایج حاصل از این کار منفی بودن ΔH° و مشتب بودن ΔS° یاد شده را تأیید می‌کند.

تغییر آنتروپی استاندارد ΔS° وابسته به واکنش



- 5- E. de Bore, Y. V. Kooyk, M. G. M. Tromp, H. plat and R. Wever, Biochem. Biophys. Acta, 1986, 869, 48
- 6- R. C. Bruening, E. M. Oltz, J. Furukawa, K. Nakanishi and K.Kustin, J. Am. Chem. Soc., 1985, 107, 5298.
- 7- R. J. Seltzer, Chem. Engng. News, 1985 63, 67.
- 8- P. Frank, R. M. K. Carlson and K. O. Hodgson, Inorg. Chem., 1986, 25, 470.
- 9- S. G. Brand, C. J. Hawkins and D. L. Parry, Inorg. Chem., 1987, 26, 627.
- 10- R. D. Gillard and R.J.Lancashire, Phytochem., 1984, 23 179.
- 11- J. Felcman, M. C. T. A. Vaz and J. J. R. Frausto da Silva, Inorg. Chim. Acta, 1984, 93, 101.
- 12- H. Kneifel and E. Bayer, J. Am. Chem. Soc., 1986, 108, 3075.
- 13- G . Andergg, E. Koch and E. Bayer, Inorg. Chim. Acta, 1987, 127, 183.
- 14- M. A. Nawi and T. L. Riechel, Inorg. Chim. Acta, 1987, 136, 33.
- 15- L. F. Vilas - Boas and J.Costa Pessoa, Comprehensive Coordination Chemistry, Pergamon Press, Oxford, 1987.
- 16- F. Charib, S. A. Khorrami and K. Zare, J. Chem. Eng. Data, 1993, 38, 602.
- 17- S. A. Khorrami, F. Gharib, K. Zare and H. Aghai, Iran, J. Chem. Eng., 1992, 11, 19.
- 18- F. Gharib, K. Zare and S. A. Khorrami, J. Sci. Az - Zahra Univ., 1994, 1, 33
- 19- L. D. Pettit and J. L. Swash, J. Chem. Soc. Dalton Trans., 1976, 2416.
- 20- P. Grenouillet, R. P. Martin, A. Rossi and M. Ptak, Biochem. Biophys. Acta, 1973, 322, 185.
- 21- D. A. Metzler, Biochemistry, The Chemical Reactions of living Cells, Academic Press, New York, 1977.
- 22- J. Costa Pessoa, L. F. Vilas Boas and R. D. Gillard, Polyhedron, 1989, 8, 9, 1172.
- 23- G. Charlot, Les Methods de la Chimie Analytique, Analyze Quantitative, 4th. Ed., Masson, Paris, 1961.
- 24- J. Lagrange, K. Aka and P. Lagrange, J. Chem. Soc. Dalton Trans., 1984, 239.
- 25- F. A. Cotton and G. Wilkinson, Advanced Inorganic Chemistry, John Wiley & Sons, 3th. Ed., New York, 1972.
- 26- K. Zare, J. Lagrange and P.Lagrange, Inorg. Chem., 1979, 18, 568.
- 27- M. T. Beck and I. Nagypal, Chemistry of Complex Equilibria, Ellis Horwood limited, New York, 1990.